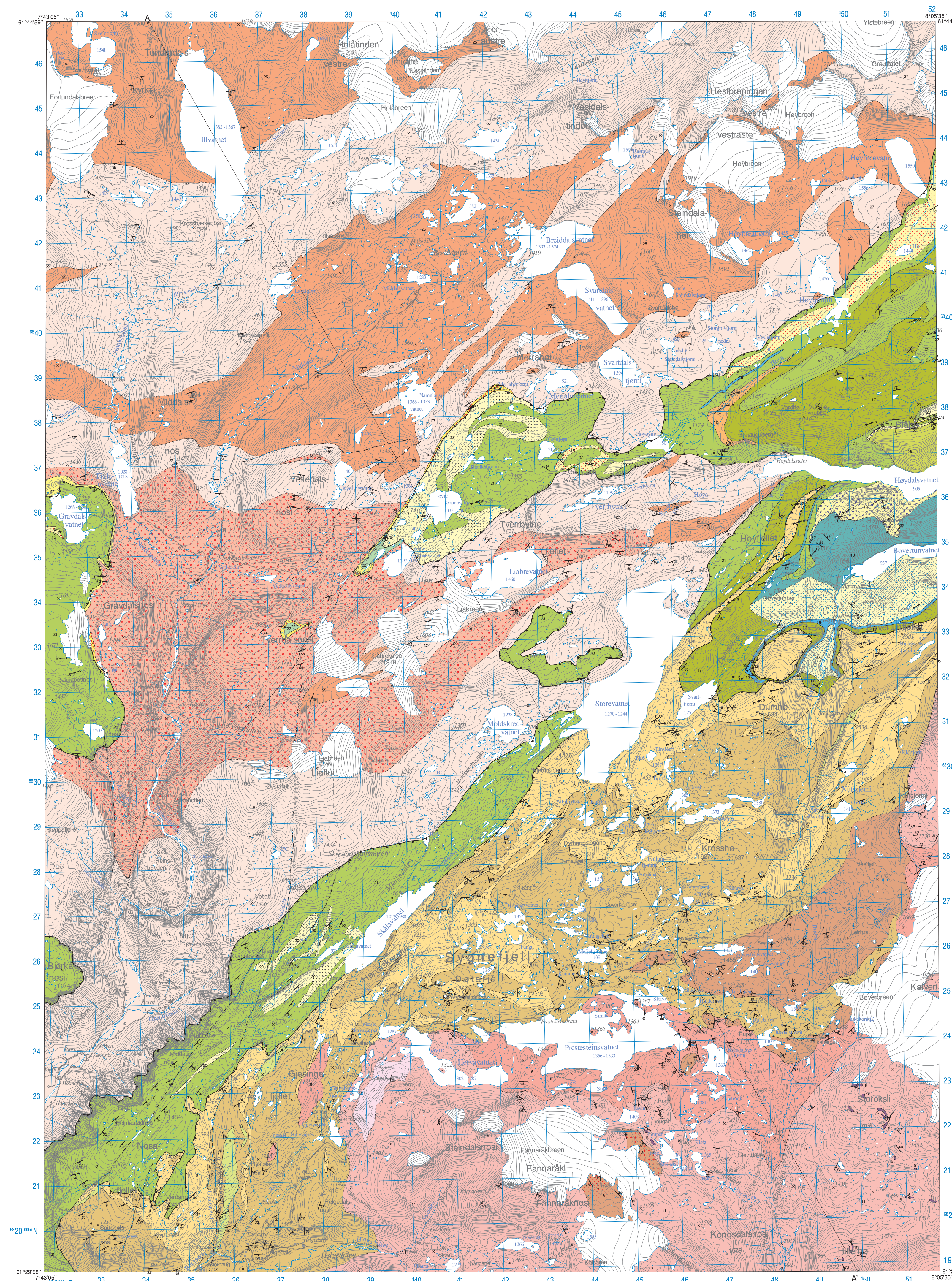


SYGNEFJELL

NORGES GEOLGIKKE UNDERSØKELSE

1518 III

BERGGRUNNSKART, FORELØPIG UTVAVE



TEGNFORKLARING

Overskjøvne bergarter, overskjøyming under den kaledonske fjellkjedefoldingen
Allochthonous rocks, thrust during the Caledonian orogeny

Jotun-Valdresdækketkompleks, selaproterozoiske til kambrasiluriske avsetningsbergarter og omvandla proterozoiske dypergarter

Jotun-Valdres Nappe Complex, late Proterozoic to Cambro-Silurian sedimentary rocks and metamorphosed Proterozoic igneous rocks

Mellseningsgruppen, kambrasiluriske avsetningsbergarter

Middle Group, Cambrian sedimentary rocks of Cambrian to Silurian age

Kvarntilt kvarts-skifer og tynt vekselende

Quartzite, quartz schist and phyllite alternating

Valdresgruppen, selaproterozoiske avsetningsbergarter

Valdres Group, sedimentary rocks of late Proterozoic age

Metakarose, steinert med kvarthornfaser

Metakarose, in places with concretionary layers

Konglomerat med kvartspebbler

Conglomerate with quartz pebbles

Jotunheimskomplekset, høygradsomvandla proterozoiske dypergarter og

middels til lavgradsomvandla gneiser

Jotunheimen Complex, granulite facies intrusive rocks of Proterozoic age and

medium- to low-grade gneisses

Blastomylonittisk gneiss, mylonittiske vulkanske bergarter og avsetningsbergarter

Blastomylonitic gneiss, mylonitic volcanic and sedimentary rocks

Granittisk gneiss

Granite gneiss

Feltspatittisk gneiss, syenittisk gneiss, omvandlet mangeritt

Feldspar-rich gneiss, syenitic gneiss, after mangerite

Gabbro, monzonitt og kvarternonzonitt

Gabbro, monzonite and quartz monzonite

Amtiboholtdisk gneiss

Amphibole-rich gneiss

Ultramafiske bergarter

Ultramafic rock

Anorositisk gneiss

Anorthositic gneiss

Pyroxenegranulitt med sammensetning fra gabroitt til kvartsmangansitt

Pyroxene granite with composition from gabbro to quartz mangansit

Fortun-Vangdetaket, omvandla avsetningsbergarter og vulkanske bergarter

av antatt neoproterozoisk til kambrasilurisk alder

Fortun-Vang Nappe, altered sedimentary and volcanic rocks

of assumed Neoproterozoic to Cambro-Silurian age

Amfibolitt, alklinitskifer

Amphibolite, actinolite schist

Konglomerat, hovedsaklig kvartsboller i kalkspatklig grunnmasse

Conglomerate, mainly quartz pebbles in a calc-silicate matrix

Konglomerat, metasandstein, metakarose

Calc-silicate metasandstone, metakarose

Metakarose

Metakarose

Biotittferende metasandstein

Biotite-rich metasandstone

Glimmerskifer, muskovitt-kloritt-kvarts-skifer

Mica schist, muscovite-chlorite-quartz schist

Kalkspatkarmor i vekstlag med kalspatfjøldig skifer

Calcsilicate schist in interlayered calc-silicate schist

Kalkspatkarmor

Calcsilicate

Kvartsitt

Quartzite

Fyllitt

Fyllite

Stedegne, eller nær stedegne bergarter

Autochthonous or paraautochthonous rocks

Kinnfjellformasjonen, neoproterozoiske eller kambriske avsetningsbergarter

Kinnfjellet Formation, Neoproterozoic or Cambrian sediments

Fyllitt

Phyllite

Quartzitt, tildeks med kvarts-skifer og fyllitt

Quartzite, in places with quartz schist and phyllite

Konglomerat med kvartsboller og kvartsitt grunnmasse

Conglomerate with quartz pebbles and quartz-rich matrix

Grunnfjell, dypergarter og omvandla dypergarter fra mellomproterozoisk tid

Basement, Mesoproterozoic igneous and metamorphosed igneous rocks

Granitt (Hestbreppgangranitten), alder 975±35 m.a.

Granite (Hestbreppgangranite), age 975±35 m.a.

Øyegranitt, omvandla kvartsittskifer eller granitt

Åsengranitt, altered quartz monzonite or granite

Diktittisk II granittisk gneiss

Dioritic to granitic gneiss

GEOLOGISKE SYMBOL

Bergarsgrense

Lithological boundary

Bergarsgrense, overgangsmessig eller usikker

Lithological boundary, transitional or uncertain

Skyverforkastning innen Jotun-Valdresdækketkomplekset

Thrust fault within the Jotun-Valdres Complex

Skyverforkastning under Jotun-Valdresdækketkomplekset

Thrust fault of the Jotun-Valdres Nappe Complex

Skyverforkastning under Fortun-Vangdetaket

Thrust fault of the Fortun-Vang Nappe

Forkastning, sprek

Fault, joint

A-A'

Linje avsnitt A-A'

Foldasjon, bølgende eller slettspenn. Planens løp angitt 25° mot SØ. Loddrett = 90°, vannrett

Fold axis, wavy or flat-topped. Strike indicated 25° towards S.E. Vertical = 90°, horizontal

Foldasjon, Akssens stigning angitt 25° mot Ø. vannrett

Fold axis with plunge indicated 25° towards E. horizontal

Lineasjon, Strukturen stigning angitt 25° mot Ø. vannrett

Lineation with plunge indicated 25° towards E. horizontal

Kartet er sammensatt ved NGU av Ole Luro på grunnlag av egen kartlegging

og dokumentasjon fra forskere som Gibbs, A., Kull, M., Tietmer, A.,

Gibbs, A.D., Elliott, P.V., Zweigert, K.B., Twidale, E., og Koester, A.C.

Sammensetting of the map by NGU from Ole Luro's own mapping

and documentation from researchers such as Gibbs, A., Kull, M., Tietmer, A.,

Gibbs, A.D., Elliott, P.V., Zweigert, K.B., Twidale, E., and Koester, A.C.

Kartet er ikke gjennomgått av NGUs kartredaksjon

The map has not been reviewed by NGU's cartographic department

Målestokk 1:50.000

Scale 1:50,000

0 1 2 3 4 5 km

Ekvidistanse 20 meter

Equidistance 20 meters

Kartbladindeling:

Map sheet distribution:

14184 Skjelkogen

13844 Pihlen

10184 Sjølyst

10183 Glitterbogen

14182 Markedalen

15183 Høyløpet

15174 Høyløpet

15175 Høyløpet

16174 Storhøpet

16175 Storhøpet

16176 Storhøpet

16177 Storhøpet

16178 Storhøpet

16179 Storhøpet

16180 Storhøpet

16181 Storhøpet

16182 Storhøpet

16183 Storhøpet

16184 Storhøpet

16185 Storhøpet

16186 Storhøpet

16187 Storhøpet

16188 Storhøpet

16189 Storhøpet

16190 Storhøpet

16191 Storhøpet

16192 Storhøpet

16193 Storhøpet

16194 Storhøpet

16195 Storhøpet

16196 Storhøpet

16197 Storhøpet

16198 Storhøpet

16199 Storhøpet

16200 Storhøpet

16201 Storhøpet

16202 Storhøpet

16203 Storhøpet

16204 Storhøpet

16205 Storhøpet

16206 Storhøpet

16207 Storhøpet

16208 Storhøpet

16209 Storhøpet

<div data-bbox="623 1230 717 1240" data